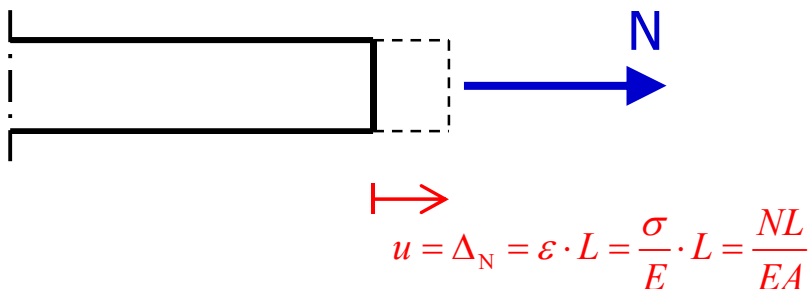


Lastvirkning og deformasjon

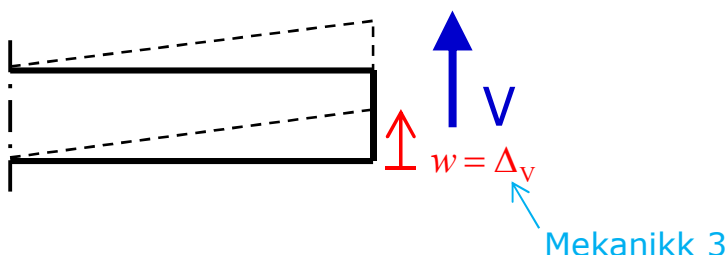
N



Aksialkraft N gir forlengelse eller forkortelse (aksialdeformasjon) av komponenten

Aksialdeformasjonen Δ_N er som regel liten

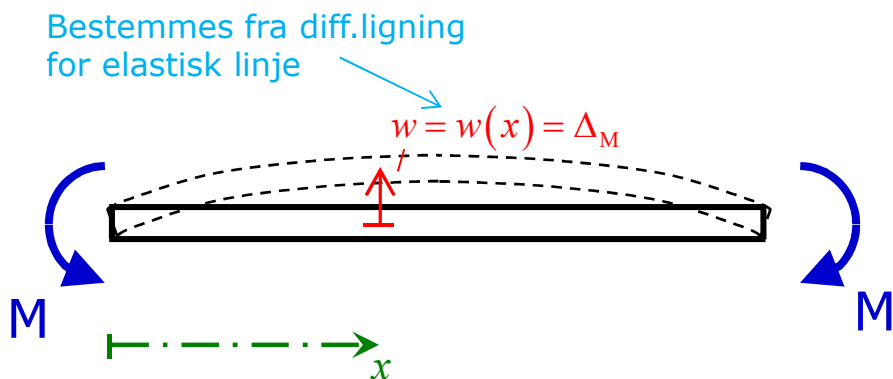
V



Skjærkraft V gir vinkelendring (skjærdeformasjon) i komponenten

Skjærdeformasjonen Δ_V er som regel liten

M



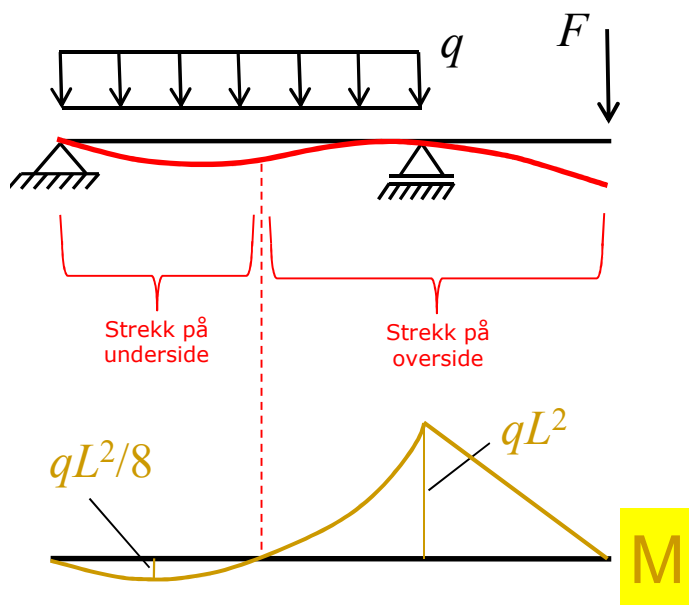
Moment M gir krumning (bøyedeforimasjon) i komponenten

Bøyedeforimasjonen Δ_M er som regel det dominerende bidraget til samlet utbøyning

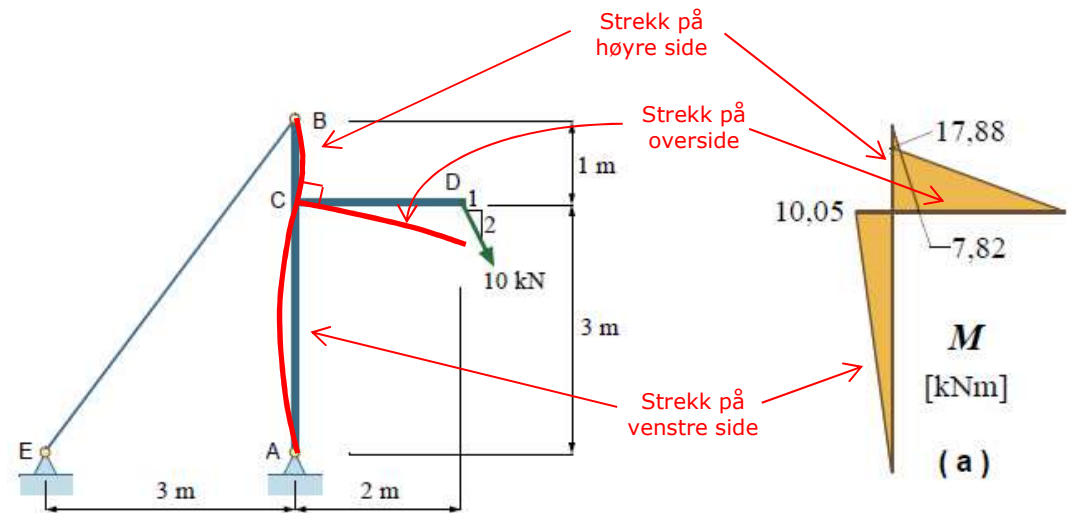
Positiv utbøyningsfunksjon $w = w(x)$ er i positiv z -retning (oppover)

M-diagram og deformasjoner

Fra lysarkap. 6: M-diagrammet gir oss informasjon om krumning og deformasjon



(Eksempel fra forelesning om lastvirkningsdiagram)

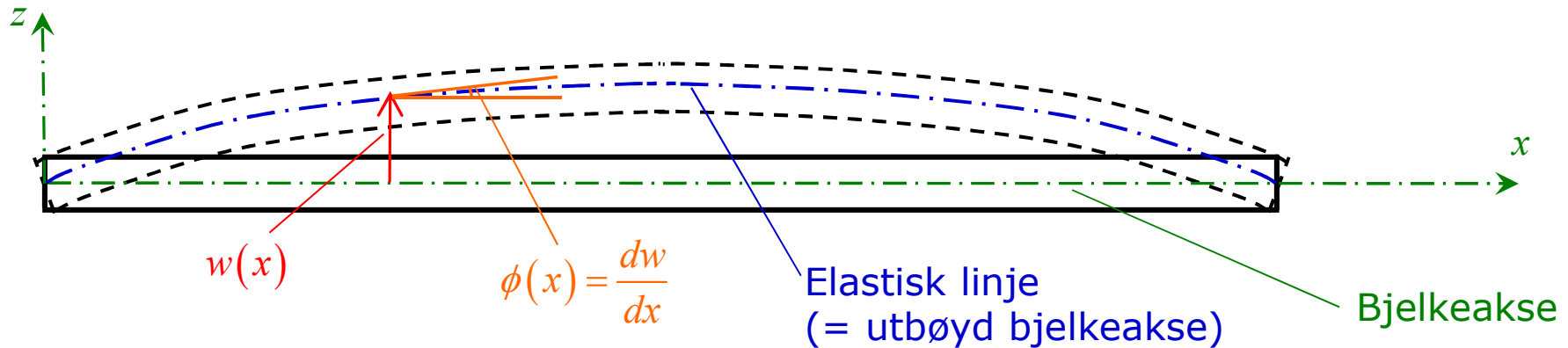


(Eksempel 2-2 fra læreboka *Konstruksjonsmekanikk Del II*)

Moment M gir strekk på den ene siden og trykk på den andre siden av komponentene. Dette resulterer i en krumning av konstruksjonsdelene.

M-diagrammet er utgangspunktet for deformasjonsberegninger


Elastisk linje

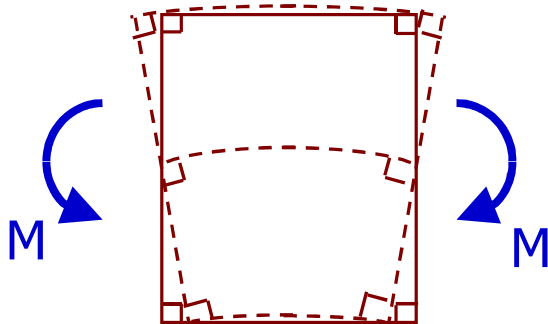


$w(x)$ er utbøyningen (tverrforskyvning) av den elastiske linjen

$\phi(x)$ er helningen (vinkel) til den elastiske linjen

Positiv w i positiv z -retning (oppover) 

Positiv ϕ mot urviser (i hht. matematisk definisjon) 



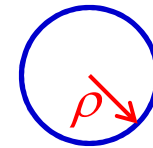
Moment M gir krumning (bøyedeformasjon)
Summasjon av alle krumningsbidragene langs hele komponenten gir total utbøyning

Krumning

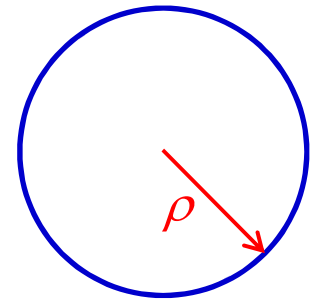
Krumning κ er et uttrykk for hvor «krapp» en kurve er.
(Små sirkler er «krappere» enn store.)

Krumning κ er definert som den inverse av (krumnings)radien ρ :
Enhet for κ er 1/m (eller 1/mm)

$$\kappa = \frac{1}{\rho}$$



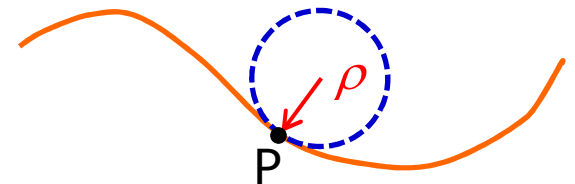
Stor krumning κ
Liten radius ρ



Liten krumning κ
Stor radius ρ

Krumning κ for en generell kurve / funksjon:

GEOMETRISK: Krumningen κ i et punkt P bestemmes fra radien ρ til den osculerende sirkelen i punktet



MATEMATISK: Krumningen $\kappa = \kappa(x)$ til en funksjon $w(x)$ beregnes fra:

$$\kappa = \frac{\left| \frac{d^2 w}{dx^2} \right|}{\left[1 + \left(\frac{dw}{dx} \right)^2 \right]^{3/2}}$$

← Absoluttverdi fordi κ (og ρ) alltid er positiv

Moment-krumningsrelasjonen

Hypoteser (antagelser) i utledningen av bøyespenningsformelen:

Ⓐ **Naviers (Bernoullis) hypotese**
Plane tverrsnitt forblir plane og \perp bjelkeaksen

Ⓑ **Enaksiell spenningstilstand**
Neglisjerer spenninger i y - og z -retning

Ⓒ **Lineært elastisk materiale**
Hookes lov er gyldig $\Rightarrow \sigma = E\varepsilon$

Ⓐ + Ⓑ + Ⓒ

og

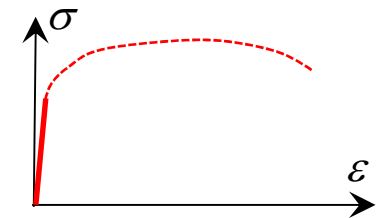
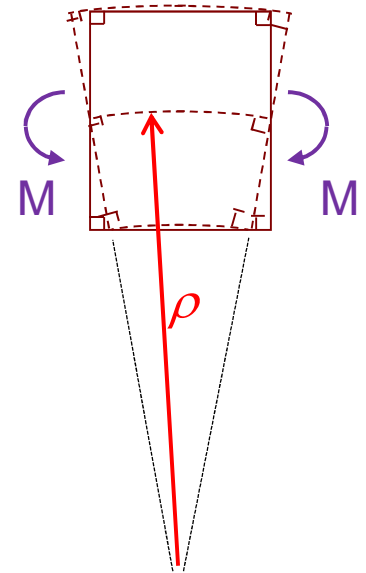
Likevekt mellom σ og M

$$\left(M = \int_A \sigma z dA \right)$$



Moment-krumningsrelasjonen:

$$M = \frac{EI_y}{\rho} \Leftrightarrow \frac{1}{\rho} = \frac{M}{EI_y}$$



Krumning = $\kappa = \frac{1}{\rho}$

Diff.ligningen for elastisk linje

Moment-
krumningsrelasjonen:

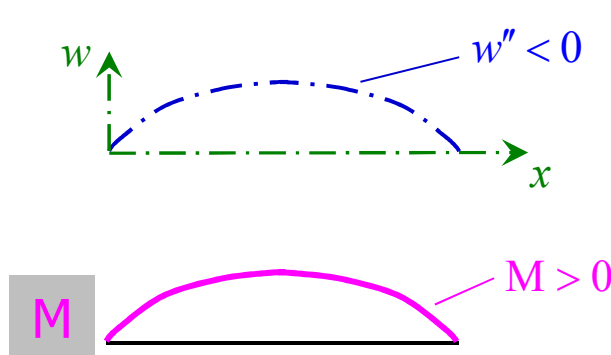
$$\frac{1}{\rho} = \frac{M}{EI_y}$$

Rottmann (s 173) gir
matematisk uttrykk
for krumning av en
funksjon $w(x)$:

$$\kappa = \frac{1}{\rho} = \frac{\left| \frac{d^2 w}{dx^2} \right|}{\left[1 + \left(\frac{dw}{dx} \right)^2 \right]^{3/2}}$$

Eliminerer krumningen $\frac{1}{\rho}$: $\left| \frac{d^2 w}{dx^2} \right| = \frac{M}{EI_y}$

Fortegn til argumentet w'' i absoluttverditegnet:



$$\left| \frac{d^2 w}{dx^2} \right| = - \frac{d^2 w}{dx^2}$$

Minus fordi $M > 0$
når $w'' < 0$



Ny hypotese (antagelse):

① **Små helninger** $\Rightarrow \frac{dw}{dx} \ll 1$

$$\Rightarrow 1 + \left(\frac{dw}{dx} \right)^2 \approx 1$$

Konsekvens: Nevneren i Rottmann-
uttrykket faller bort ☺

**Differensialligningen
for elastisk linje:**

$$\frac{d^2 w}{dx^2} = - \frac{M(x)}{EI_y}$$

Randbetingelser

Diff.ligningen for elastisk linje: $\frac{d^2 w}{dx^2} = -\frac{M(x)}{EI_y} = -\frac{M}{EI}$

Dobbeltderivert \Rightarrow
2. ordens diff.ligning

Vanlig skrivemåte. Underforstått:

- M er momentdiagram-funksjonen
- I refererer til relevant bøyningsakse

Den generelle løsningen av en 2. ordens diff.ligning vil være en funksjon $w(x)$ hvor det inngår to integrasjonskonstanter C_1 og C_2 .

I den spesielle løsningen for en gitt bjelke må de to konstantene C_1 og C_2 bestemmes fra problemets randbetingelser.

Aktuelle randbetingelser:

FAST INNSPENNING:



$$\begin{cases} w = 0 \\ \phi = 0 \Rightarrow w' = 0 \end{cases}$$

LEDDLAGER:



$$w = 0$$

Utkragerbjelke med punktlast

Momentfunksjon:

$$M(x) = F(L - x)$$

Strekk på over-
side gir positiv M

$x = 0$ i inn-
spenning

Diff.ligning:

$$\frac{d^2 w}{dx^2} = -\frac{M(x)}{EI} = -\frac{F}{EI}(L - x)$$

Integrerer:

$$\frac{dw}{dx} = \phi(x) = -\frac{F}{EI}\left(Lx - \frac{1}{2}x^2\right) + C_1$$

$$w(x) = -\frac{F}{EI}\left(\frac{1}{2}Lx^2 - \frac{1}{6}x^3\right) + C_1x + C_2$$

Randbetingelser:

$$w(0) = 0 \Rightarrow C_2 = 0$$

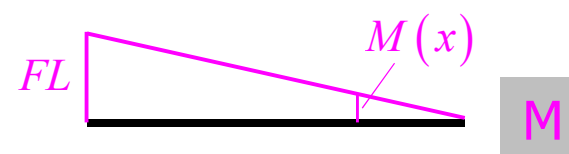
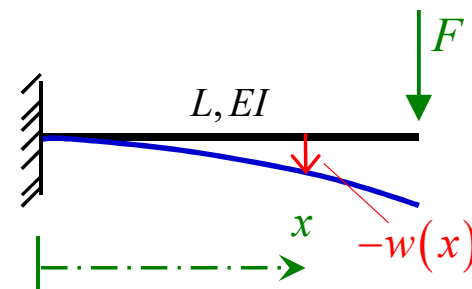
$$\phi(0) = 0 \Rightarrow C_1 = 0$$

Utbøyningsfunksjon:

$$w(x) = \frac{FL^3}{6EI} \left(\left(\frac{x}{L}\right)^3 - 3\left(\frac{x}{L}\right)^2 \right)$$

Helningsfunksjon:

$$\phi(x) = \frac{FL^2}{2EI} \left(\left(\frac{x}{L}\right)^2 - 2\left(\frac{x}{L}\right) \right)$$



Innspenning i $x = 0$:

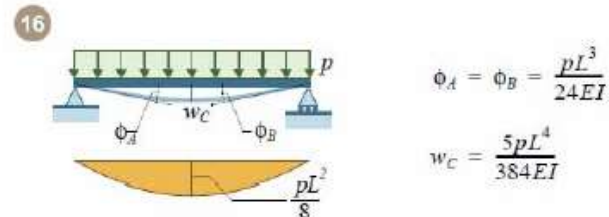
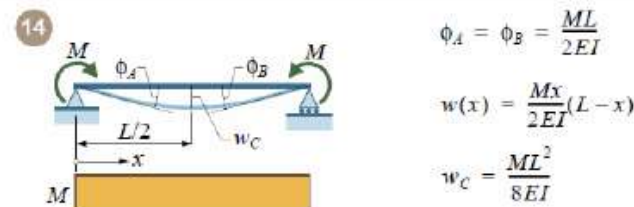
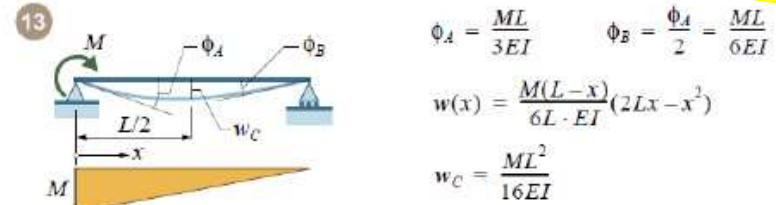
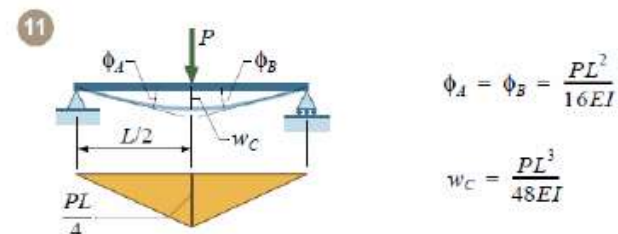
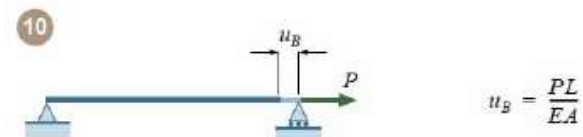
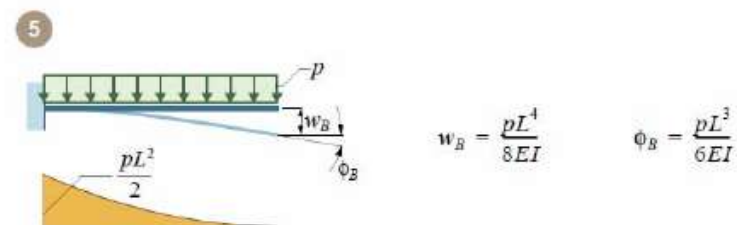
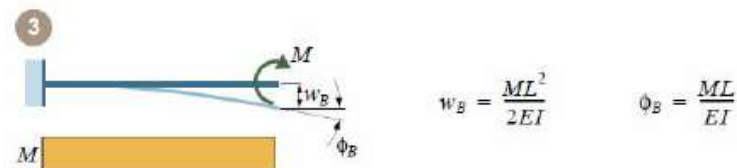
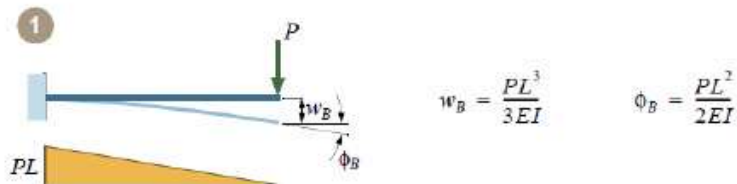
$$w(0) = 0 \quad , \quad \phi(0) = 0$$

Forskyvning og helning
på bjelketupp ($x = L$):

$$|w_{\max}| = \frac{FL^3}{3EI} \quad | \phi_{\max} | = \frac{FL^2}{2EI}$$

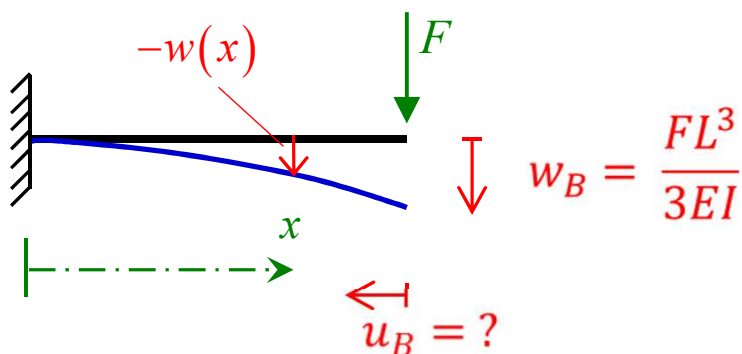
Elementærbjelker (deformasjonsformler)

Formelark A3 og A4



(Utdrag fra Appendiks C i Bell: Konstruksjonsmekanikk Del II - Fasthetslære)

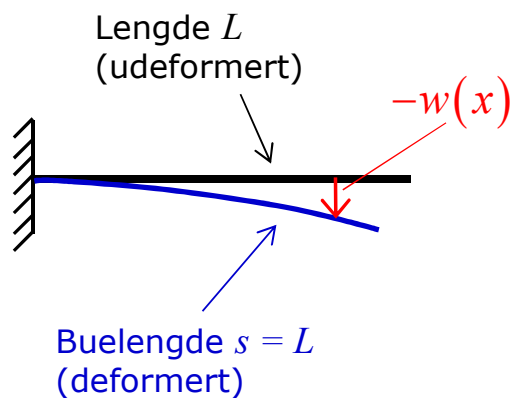
Utkragerbjelke med punktlast



Diff.ligningen for elastisk linje gir informasjon om:

- Tverrforskyvning $w(x)$
- Helning $\phi(x)$

Hva med horisontalforskyvningen u_B ?

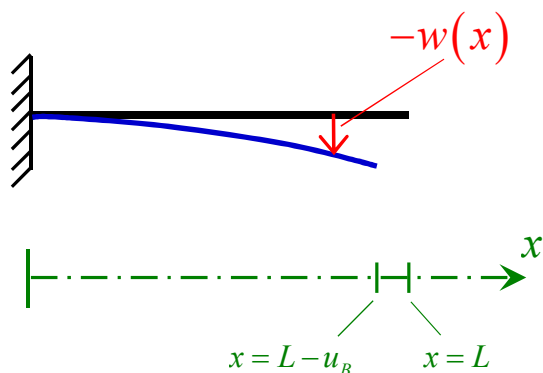


Analyserer problemet med **buelengdeformelen**:

$$s(x) = \int_0^L \sqrt{1 + \left(\frac{dw}{dx}\right)^2} dx$$

Hvor:
$$w(x) = \frac{FL^3}{6EI} \left(\left(\frac{x}{L}\right)^3 - 3 \left(\frac{x}{L}\right)^2 \right)$$

Utkragerbjelke med punktlast



Rekkeutvikling (OK når $w'(x) \ll 1$):

$$\sqrt{1+t} = 1 + \frac{1}{2}t - \frac{1}{8}t^2 + \frac{3}{48}t^3 - \dots \approx 1 + \frac{1}{2}t$$

Nyttig grep for å bli kvitt rotuttrykket i buelengdeformelen!

Buelengde:

$$s = \int_0^{L-u_B} \sqrt{1 + \left(\frac{dw}{dx}\right)^2} dx$$

Buelengde (tilnærmet):

$$s = \int_0^{L-u_B} \left(1 + \frac{1}{2}\left(\frac{dw}{dx}\right)^2\right) dx = [x]_0^{L-u_B} + \int_0^{L-u_B} \frac{1}{2}\left(\frac{dw}{dx}\right)^2 dx = L - u_B + \int_0^{L-u_B} \frac{1}{2}\left(\frac{dw}{dx}\right)^2 dx = L$$

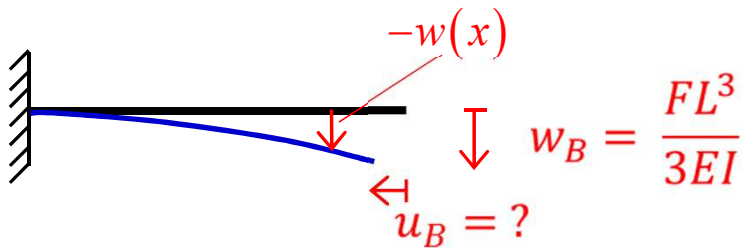
Resultat:

$$u_B = \int_0^{L-u_B} \frac{1}{2}\left(\frac{dw}{dx}\right)^2 dx \approx \int_0^L \frac{1}{2}\left(\frac{dw}{dx}\right)^2 dx$$

Antar at $u_B \ll L$ slik at u_B kan neglisjeres i øvre grense

Pga. $s = L$

Utkragerbjelke med punktlast



$$w(x) = \frac{FL^3}{6EI} \left(\left(\frac{x}{L} \right)^3 - 3 \left(\frac{x}{L} \right)^2 \right)$$

$$\frac{dw}{dx} = \frac{FL^2}{2EI} \left(\left(\frac{x}{L} \right)^2 - 2 \left(\frac{x}{L} \right) \right)$$

$$\begin{aligned} u_B &= \frac{1}{2} \int_0^L \left(\frac{dw}{dx} \right)^2 dx = \frac{1}{2} \int_0^L \left(\frac{FL^2}{2EI} \left(\left(\frac{x}{L} \right)^2 - 2 \left(\frac{x}{L} \right) \right) \right)^2 dx = \frac{F^2 L^4}{8(EI)^2} \int_0^L \left(\left(\frac{x}{L} \right)^4 - 4 \left(\frac{x}{L} \right)^3 + 4 \left(\frac{x}{L} \right)^2 \right) dx \\ &= \frac{F^2 L^5}{8(EI)^2} \left[\frac{1}{5} \left(\frac{x}{L} \right)^5 - \left(\frac{x}{L} \right)^4 + \frac{4}{3} \left(\frac{x}{L} \right)^3 \right]_0^L = \frac{F^2 L^5}{8(EI)^2} \left[\frac{1}{5} - 1 + \frac{4}{3} \right] = \frac{F^2 L^5}{15(EI)^2} \end{aligned}$$

Omskrivning:

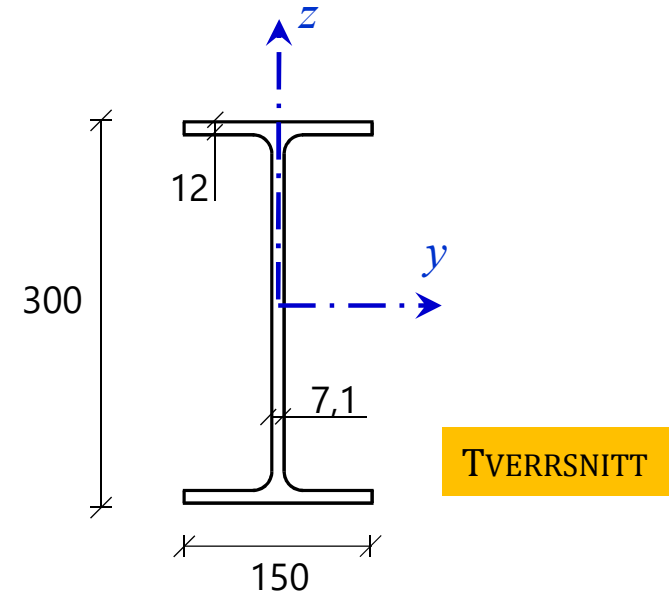
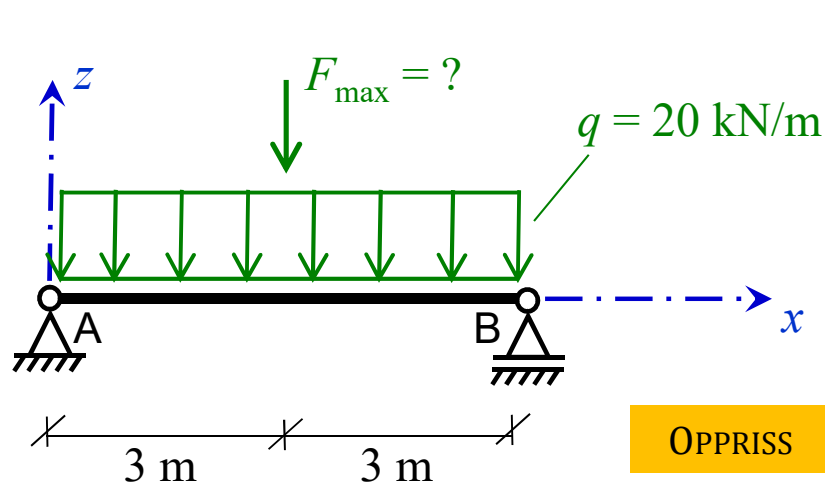
$$u_B = \frac{F^2 L^5}{15(EI)^2} = \frac{9}{15} \cdot \frac{FL^3}{3EI} \cdot \frac{FL^3}{3EI} \cdot \frac{1}{L} = \frac{9}{15} \cdot w_B \cdot \frac{w_B}{L}$$

Typisk: $w_B \simeq L/300$

Horisontalforskyvningen u_B av punkt B er i størrelsesorden 1% av tverrforskyvningen w_B .

Kan trygt neglisjere u_B .

Eksempel: Fritt opplagt IPE-bjelke



En fritt opplagt stålbejelke er laget av tverrsnitt IPE 300, og har lengde $L = 6 \text{ m}$. Bjelken er påkjent av en jevnt fordelt last $q = 20 \text{ kN/m}$ samt en punktlast F i midtsnitt. Tverrsnittet er orientert slik at bjelken bøyes om sin sterke akse. IPE 300 har 2. arealmoment $I = I_y = 83,6 \cdot 10^6 \text{ mm}^4$.

Data for stålmaterialet: Elastisitetsmodul $E = 210\,000 \text{ N/mm}^2$
Flytespenning $f_y = 355 \text{ N/mm}^2$

- Bestem den maksimale punktlasten F som kan påføres uten at maksimal nedbøyning w_{\max} overskrider $L/200$. Bruk informasjon fra formelark.
- Har bjelken tilstrekkelig kapasitet mot flytning?

Bjelkens differensialligning

Diff.ligningen for elastisk linje:

$$\frac{d^2 w}{dx^2} = -\frac{M(x)}{EI}$$

Sammenheng mellom moment og skjærkraft:

$$V(x) = \frac{dM}{dx}$$

Sammenheng mellom skjærkraft og lastfunksjon:

$$q(x) = -\frac{dV}{dx}$$

$$q(x) = -\frac{d^2 M}{dx^2}$$

Bjelkens differensialligning:

$$\frac{d^2}{dx^2} \left(EI \frac{d^2 w}{dx^2} \right) = q(x)$$

Konstant bøyestivhet EI :

$$\frac{d^4 w}{dx^4} = \frac{q(x)}{EI}$$

Entydig løsning av en 4. ordens diff.ligning krever 4 randbetingelser.

Kandidater:

FAST INNSPENNING:



$$\begin{cases} w = 0 \\ \phi = 0 \Rightarrow w' = 0 \end{cases}$$

LEDDLAGER:



$$\begin{cases} w = 0 \\ M = 0 \Rightarrow w'' = 0 \end{cases}$$

FRI (UBELASTET) ENDE:

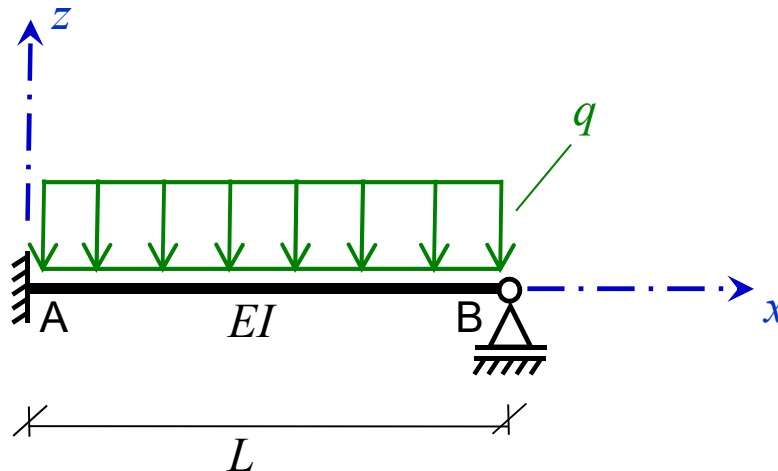


$$\begin{cases} M = 0 \Rightarrow w'' = 0 \\ V = 0 \Rightarrow w''' = 0 \end{cases}$$

MERK:

I diff.ligningen for en elastisk linje ($w'' = -M(x)/EI$) benyttes kun randbetingelser for w og w' , se lysark 7. Årsaken er at momentfunksjonen samt skjærkraften er kjent på forhånd: $M(x)$ er «input» på høyre side

Eksempel: Statisk ubestemt bjelke



Figuren viser en bjelke med lengde L som er fast innspent i punkt A, mens den har glidelager i punkt B. Bjelken er dermed én gang statisk ubestemt. Bjelken er påkjent av en jevnt fordelt last q , og bøyestivheten er EI .

- Løs bjelkens differensialligning, og bestem:
 - Nedbøyningsfunksjonen $w(x)$
 - Helningsfunksjonen $\phi(x)$
 - Momentfunksjonen $M(x)$
 - Skjærkraftfunksjonen $V(x)$
- Bestem lagerreaksjonene ved å bruke formelark (elementærbjelker) og superposisjonsprinsippet

Elementærbjelkemetoden

ELEMENTÆRBJELKER:

- De grunnleggende bjelketilfellene (utkragerbjelker og fritt opplagte bjelker) på formelarkene A3 og A4, evt. Appendiks C i Fasthetslære-boka
- Formelark relaterer tverrforskyvning w og vinkel ϕ til M-diagram og randbetingelser
- Formler er basert på løsning av diff.ligningen $\frac{d^2w}{dx^2} = -\frac{M(x)}{EI}$

Krumning $\kappa = -M/EI$
gir deformasjon!

ELEMENTÆRBJELKEMETODEN:

Elementærbjelkene (formelarkene) benyttes til å beregne deformasjoner i sammensatte konstruksjoner og/eller hvis det virker flere laster på systemet. Strategi:

1. Beregn og tegn M-diagram for systemet, gjerne separat M-diagram pga. hver last. (M gir krumning!)
2. Identifiser elementærbjelker. Vær OBS på at de kan være speilvendt. Viktig:
 - ⇒ Randbetingelser
 - ⇒ M-diagram (kan dekomponeres / splittes opp!)
3. Formelark gir forskyvninger og vinkler.
4. Summerer bidrag (superposisjon). Vær OBS på «overføring» av vinkler fra én komponent til nabokomponenten!

Elementærbjelkemetoden forutsetter at superposisjonsprinsippet er gyldig

Eksempel: Utkrager med to punktlaster



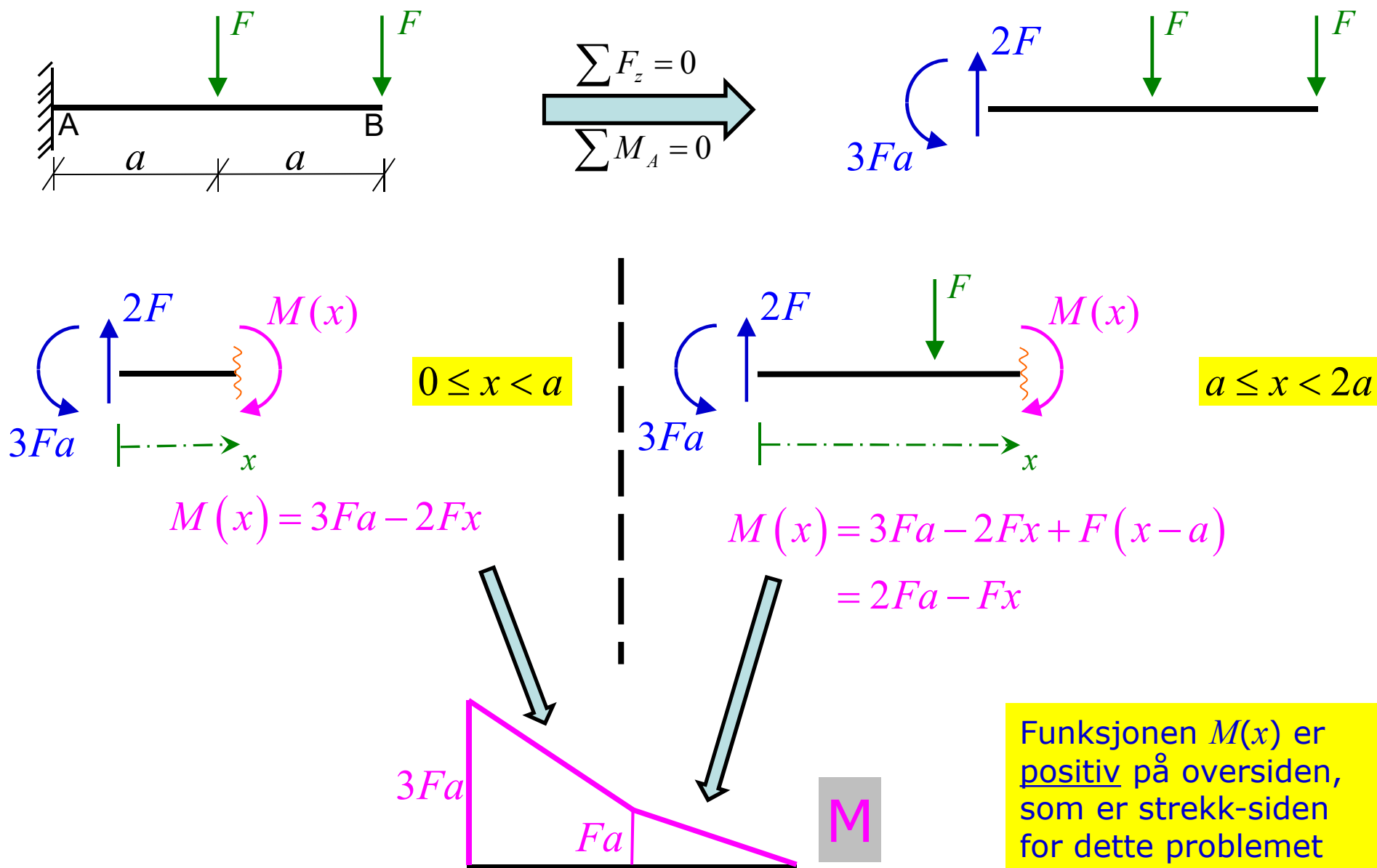
En utkragerbjelke AB er påkjent av to punktlaster F , se figuren. Bjelken har lengde $2a$ og bøyestivhet EI . Momentdiagrammet er gitt i høyre del av figuren.

Bestem nedbøyningen w_B av punkt B ved bruk av formelark og superposisjonsprinsippet. Problemet kan angripes på to forskjellige måter:

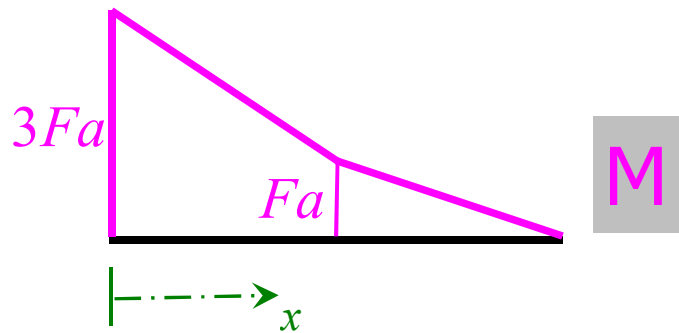
- Legg sammen bidragene til nedbøyning pga. hver av de to punktlastene F .
- Dekomponer momentdiagrammet i bidrag som er dekket av formelark A3.

Problemet er analysert ved å løse differensialligningen på de neste tre lysarkene

Utkragerbjelke med to punktlaster



Utkragerbjelke med to punktlaster



$$M(x) = \begin{cases} 3Fa - 2Fx; & 0 \leq x < a \\ 2Fa - Fx; & a \leq x < 2a \end{cases}$$

Løsning av diff.ligningen for **venstre** del av bjelken: $(0 \leq x < a)$

Diff.ligning: $\frac{d^2 w}{dx^2} = -\frac{M(x)}{EI} = \frac{F}{EI}(2x - 3a) = \frac{Fa}{EI} \left(2\left(\frac{x}{a}\right) - 3 \right)$

Integrerer:
$$\left. \begin{aligned} \frac{dw}{dx} &= \phi(x) = \frac{Fa^2}{EI} \left(\left(\frac{x}{a}\right)^2 - 3\left(\frac{x}{a}\right) \right) + C_1 \\ w(x) &= \frac{Fa^3}{EI} \left(\frac{1}{3}\left(\frac{x}{a}\right)^3 - \frac{3}{2}\left(\frac{x}{a}\right)^2 \right) + C_1 x + C_2 \end{aligned} \right\}$$

Randbetingelser:
 $w(0) = 0 \Rightarrow C_2 = 0$
 $\phi(0) = 0 \Rightarrow C_1 = 0$

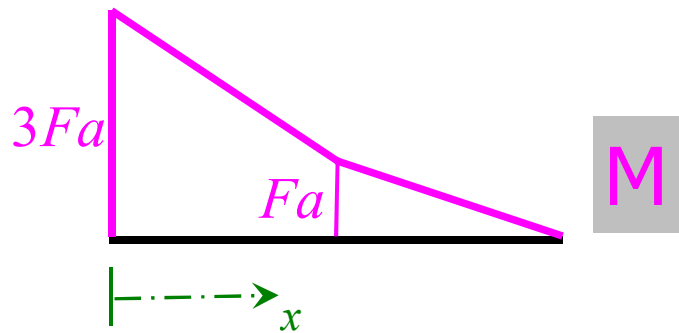
Utbøyning: $w(x) = \frac{Fa^3}{6EI} \left(2\left(\frac{x}{a}\right)^3 - 9\left(\frac{x}{a}\right)^2 \right) \Rightarrow w(a) = -\frac{7}{6} \frac{Fa^3}{EI}$

Helning: $\phi(x) = \frac{Fa^2}{EI} \left(\left(\frac{x}{a}\right)^2 - 3\left(\frac{x}{a}\right) \right) \Rightarrow \phi(a) = -2 \frac{Fa^2}{EI}$

Benyttes som randbetingelser for høyre del

HUSK: Positiv w oppover
 Positiv ϕ mot urviser

Utkragerbjelke med to punktlaster



$$M(x) = \begin{cases} 3Fa - 2Fx; & 0 \leq x < a \\ 2Fa - Fx; & a \leq x < 2a \end{cases}$$

Løsning av diff.ligningen for **høyre** del av bjelken: $(a \leq x < 2a)$

Diff.ligning: $\frac{d^2 w}{dx^2} = -\frac{M(x)}{EI} = \frac{F}{EI} (x - 2a) = \frac{Fa}{EI} \left(\left(\frac{x}{a} \right) - 2 \right)$

Integrerer:
$$\left. \begin{aligned} \frac{dw}{dx} &= \phi(x) = \frac{Fa^2}{EI} \left(\frac{1}{2} \left(\frac{x}{a} \right)^2 - 2 \left(\frac{x}{a} \right) \right) + C_1 \\ w(x) &= \frac{Fa^3}{EI} \left(\frac{1}{6} \left(\frac{x}{a} \right)^3 - \left(\frac{x}{a} \right)^2 \right) + C_1 x + C_2 \end{aligned} \right\}$$

Randbetingelser (fra $x = a$ i venstre del):

$$\phi(a) = -2 \frac{Fa^2}{EI} \Rightarrow C_1 = -\frac{1}{2} \frac{Fa^2}{EI}$$

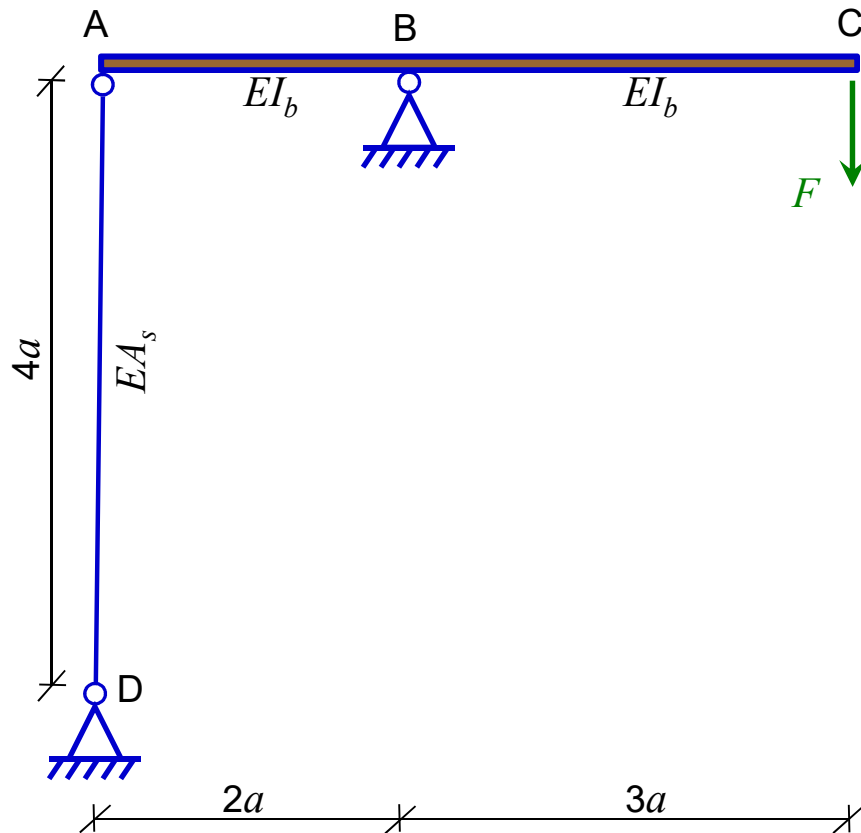
$$w(a) = -\frac{7}{6} \frac{Fa^3}{EI} \Rightarrow C_2 = \frac{1}{6} \frac{Fa^3}{EI}$$

Utbøyning: $w(x) = \frac{Fa^3}{6EI} \left(\left(\frac{x}{a} \right)^3 - 6 \left(\frac{x}{a} \right)^2 - 3 \left(\frac{x}{a} \right) + 1 \right)$

Helning: $\phi(x) = \frac{Fa^2}{2EI} \left(\left(\frac{x}{a} \right)^2 - 4 \left(\frac{x}{a} \right) - 1 \right)$

$$\Rightarrow \left. \begin{aligned} w(2a) &= -\frac{7}{2} \frac{Fa^3}{EI} \\ \phi(2a) &= -\frac{5}{2} \frac{Fa^2}{EI} \end{aligned} \right\} \begin{array}{l} \text{Tverrforskyvning og} \\ \text{helning på tuppen} \\ \text{av bjelken med to} \\ \text{punktlaster} \end{array}$$

Eksempel: Trebjelke med Al-strekstag

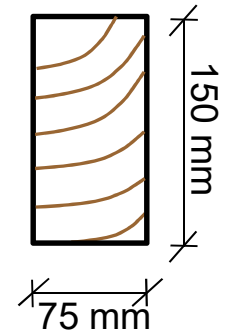


Bjelke:

Rektangulær 3"×6" av tre

$$E_b = 10\,000 \text{ N/mm}^2$$

$$f_b = 25 \text{ N/mm}^2$$

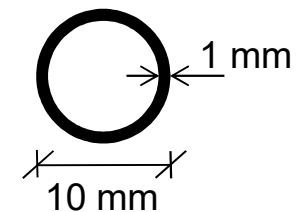


Stag:

Rør Ø10 (t = 1 mm)
av aluminium

$$E_s = 70\,000 \text{ N/mm}^2$$

$$f_y = 200 \text{ N/mm}^2$$



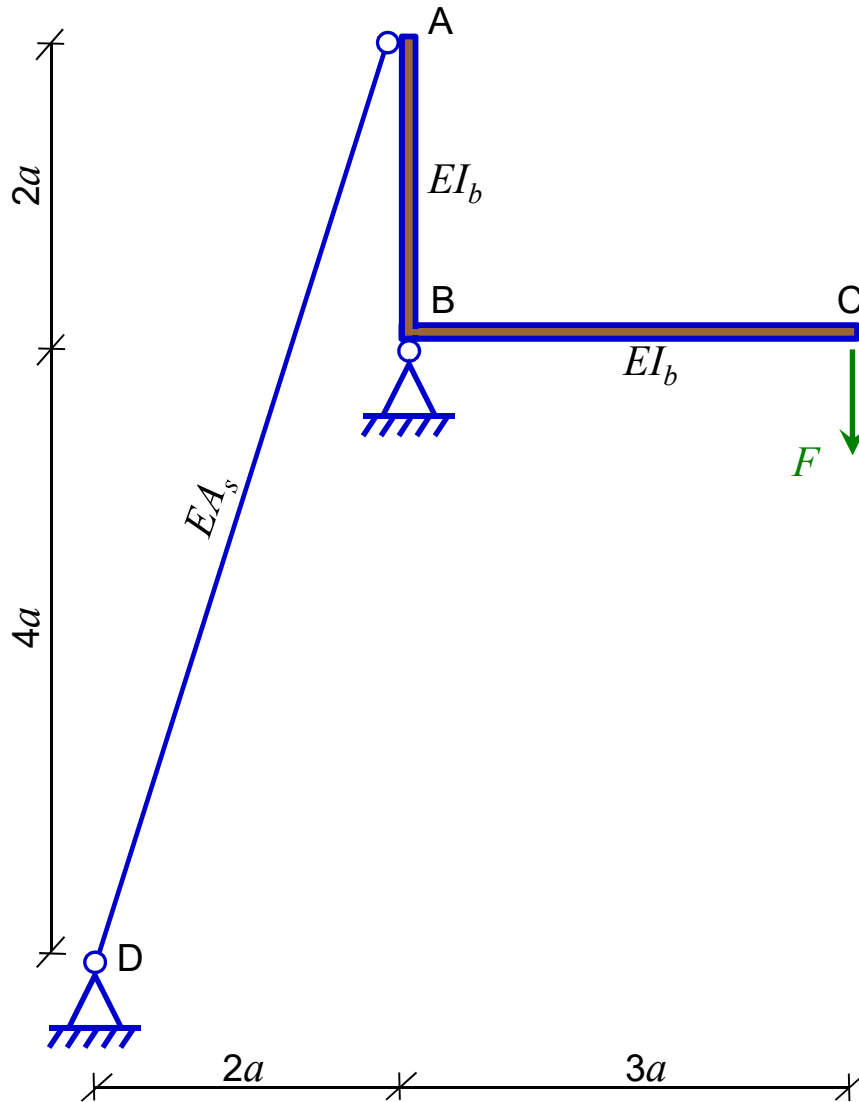
System:

$$F = 1200 \text{ N}$$

$$a = 1 \text{ m}$$

- Beregn nedbøyning i punkt C. Bruk formelark
- I en statisk modell av bjelken ABC kan staget erstattes av en fjær med stivhet k . Beregn k
- Beregn maksimal normalspenning

Eksempel: Trebjelke med Al-strekstag



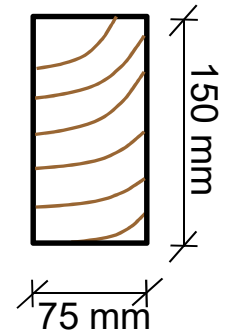
- Beregn nedbøyning i punkt C

Bjelke:

Rektangulær 3"×6" av tre

$$E_b = 10\,000 \text{ N/mm}^2$$

$$f_b = 25 \text{ N/mm}^2$$

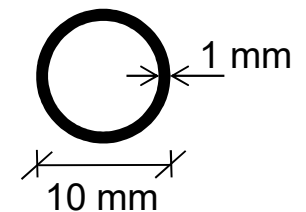


Stag:

Rør Ø10 (t = 1 mm)
av aluminium

$$E_s = 70\,000 \text{ N/mm}^2$$

$$f_y = 200 \text{ N/mm}^2$$

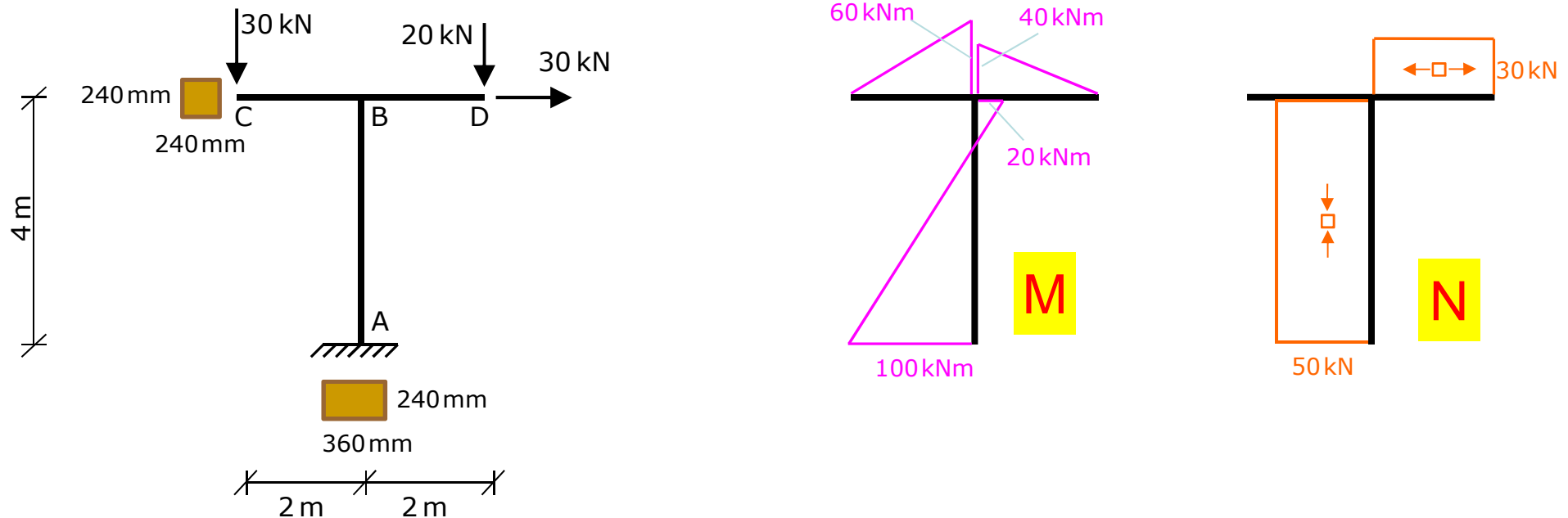


System:

$$F = 1200 \text{ N}$$

$$a = 1 \text{ m}$$

Eksempel: Kraftledningsmast

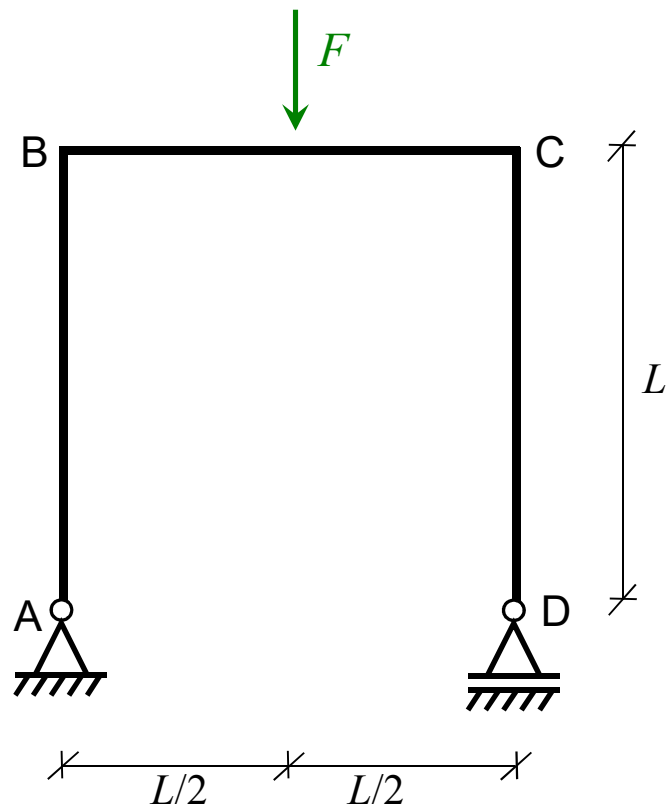


Figuren viser den T-formede kraftledningsmasten som er behandlet i flere tidligere eksempler. Lastvirkningsdiagram er gitt til høyre i figuren. Masten er laget av limtre. Dimensjoner og orientering av tverrsnittet framgår av figuren. Limtreet har elastisitetsmodul $E = 10\,000 \text{ N/mm}^2$.

Regn ut vertikalforskyvningen Δ_D av punkt D:

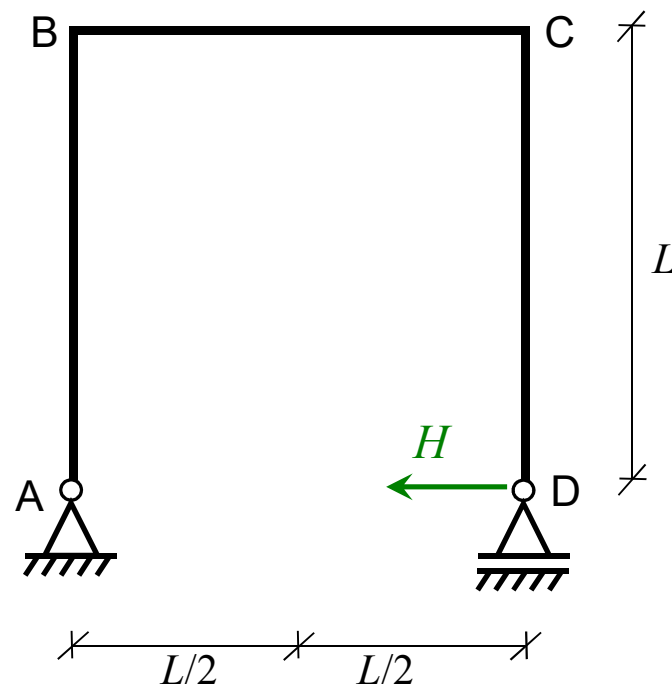
- Ta kun hensyn til bøyedeformasjoner i beregningen
- Inkluder både bøyedeformasjoner og aksialdeformasjoner

Eksempel: Portalramme



Den venstre figuren viser en portalramme ABCD med en punktlast F midt på rigelen BC. Alle rammedeler har bøyestivhet EI .

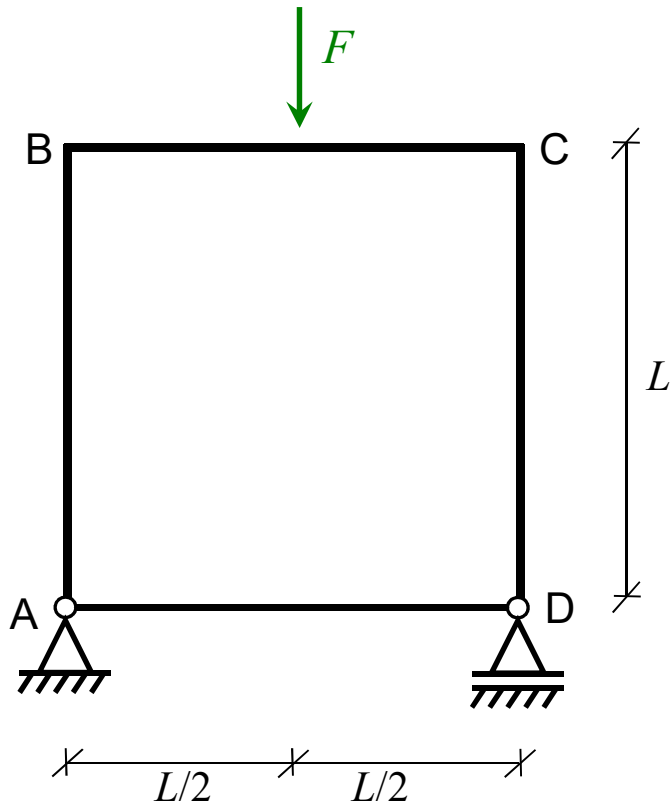
Bestem horisontalforskyvningen Δ_D av punkt D.



I den høyre figuren er portalrammen belastet med en horisontal kraft H i punkt D. For øvrig er rammen uendret.

Bestem horisontalforskyvningen Δ_D av punkt D.

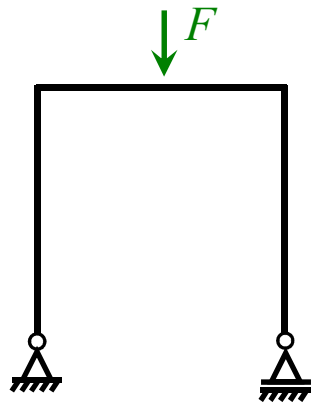
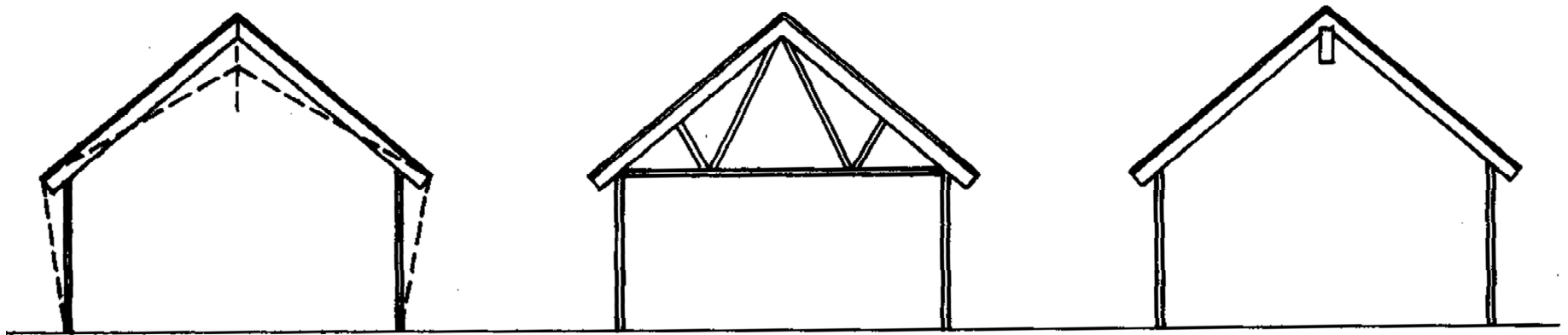
Eksempel: Portalramme med strekkbånd



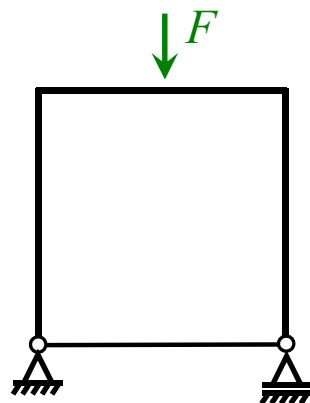
Portalrammen i figuren er påkjent av en punktlast F midt på rigelen. For å unngå at søylene «spriker», dvs. at punkt D forskyves mot høyre, er rammen forsterket med et strekkbånd AD. Anta at strekkbåndet har uendelig stor aksialstivhet EA .

Bestem kraften N_{AD} i strekkbåndet.

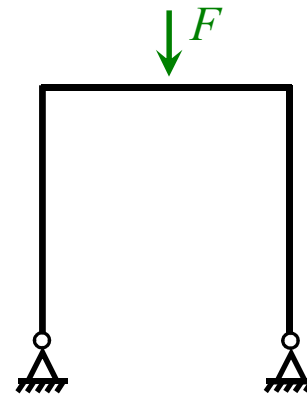
Horisontale forskyvninger i rammer



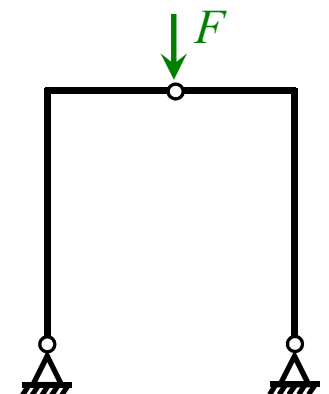
Høyre søyle
har glidelager



Strekkbånd
begrenser
forskyvning



Uforskyvelige lager,
men horisontale
krefter på
fundamenter



Uforskyvelige lager,
men horisontale
krefter på
fundamenter

Skråkabelbruer



Bhumibol-brua
Bangkok



Chirajara-brua (før kollaps 15. januar 2018)
Columbia